

Starkniederschlagshöhen und -spenden gemäß KOSTRA-DWD-2010R

Auswertungszeitraum von 1951 - 2010, Januar - Dezember

Rasterfeld: 8036

Zeile: 8

Spalte: 36

Seite: 1/2

| Dauerstufe D | Wiederkehrzeit T | | | | | | | | | | | | | | | | | | |
|--------------|------------------|------|------------|------|------------|------|------------|------|------------|------|------------|------|------------|------|------------|------|------------|------|------------|
| | 1 a | | 2 a | | 3 a | | 5 a | | 10 a | | 20 a | | 30 a | | 50 a | | 100 a | | |
| min | Std | mm | l / (s ha) | mm | l / (s ha) | mm | l / (s ha) | mm | l / (s ha) | mm | l / (s ha) | mm | l / (s ha) | mm | l / (s ha) | mm | l / (s ha) | mm | l / (s ha) |
| 5 | | 4,6 | 153,3 | 5,7 | 190,0 | 6,4 | 213,3 | 7,2 | 240,0 | 8,3 | 276,7 | 9,4 | 313,3 | 10,0 | 333,3 | 10,8 | 360,0 | 11,9 | 396,7 |
| 10 | | 7,2 | 120,0 | 8,9 | 148,3 | 9,8 | 163,3 | 11,0 | 183,3 | 12,6 | 210,0 | 14,2 | 236,7 | 15,2 | 253,3 | 16,4 | 273,3 | 18,0 | 300,0 |
| 15 | | 8,9 | 98,9 | 10,9 | 121,1 | 12,1 | 134,4 | 13,6 | 151,1 | 15,6 | 173,3 | 17,7 | 196,7 | 18,9 | 210,0 | 20,4 | 226,7 | 22,4 | 248,9 |
| 20 | | 10,1 | 84,2 | 12,4 | 103,3 | 13,8 | 115,0 | 15,6 | 130,0 | 18,0 | 150,0 | 20,4 | 170,0 | 21,8 | 181,7 | 23,5 | 195,8 | 25,9 | 215,8 |
| 30 | | 11,6 | 64,4 | 14,6 | 81,1 | 16,3 | 90,6 | 18,5 | 102,8 | 21,5 | 119,4 | 24,5 | 136,1 | 26,3 | 146,1 | 28,5 | 158,3 | 31,5 | 175,0 |
| 45 | | 12,8 | 47,4 | 16,6 | 61,5 | 18,8 | 69,6 | 21,6 | 80,0 | 25,4 | 94,1 | 29,2 | 108,1 | 31,4 | 116,3 | 34,2 | 126,7 | 37,9 | 140,4 |
| 60 | | 13,6 | 37,8 | 18,0 | 50,0 | 20,6 | 57,2 | 23,9 | 66,4 | 28,4 | 78,9 | 32,8 | 91,1 | 35,4 | 98,3 | 38,7 | 107,5 | 43,1 | 119,7 |
| 90 | | 14,9 | 27,6 | 19,6 | 36,3 | 22,4 | 41,5 | 25,9 | 48,0 | 30,6 | 56,7 | 35,3 | 65,4 | 38,0 | 70,4 | 41,5 | 76,9 | 46,2 | 85,6 |
| 120 | 2 | 15,9 | 22,1 | 20,8 | 28,9 | 23,7 | 32,9 | 27,3 | 37,9 | 32,3 | 44,9 | 37,2 | 51,7 | 40,0 | 55,6 | 43,7 | 60,7 | 48,6 | 67,5 |
| 180 | 3 | 17,5 | 16,2 | 22,7 | 21,0 | 25,7 | 23,8 | 29,6 | 27,4 | 34,8 | 32,2 | 40,0 | 37,0 | 43,1 | 39,9 | 46,9 | 43,4 | 52,1 | 48,2 |
| 240 | 4 | 18,6 | 12,9 | 24,1 | 16,7 | 27,3 | 19,0 | 31,3 | 21,7 | 36,7 | 25,5 | 42,2 | 29,3 | 45,4 | 31,5 | 49,4 | 34,3 | 54,8 | 38,1 |
| 360 | 6 | 20,4 | 9,4 | 26,2 | 12,1 | 29,6 | 13,7 | 33,9 | 15,7 | 39,6 | 18,3 | 45,4 | 21,0 | 48,8 | 22,6 | 53,1 | 24,6 | 58,8 | 27,2 |
| 540 | 9 | 22,4 | 6,9 | 28,5 | 8,8 | 32,1 | 9,9 | 36,7 | 11,3 | 42,8 | 13,2 | 48,9 | 15,1 | 52,5 | 16,2 | 57,0 | 17,6 | 63,2 | 19,5 |
| 720 | 12 | 23,9 | 5,5 | 30,3 | 7,0 | 34,1 | 7,9 | 38,8 | 9,0 | 45,2 | 10,5 | 51,6 | 11,9 | 55,3 | 12,8 | 60,0 | 13,9 | 66,5 | 15,4 |
| 1080 | 18 | 26,2 | 4,0 | 33,0 | 5,1 | 37,0 | 5,7 | 42,0 | 6,5 | 48,8 | 7,5 | 55,6 | 8,6 | 59,6 | 9,2 | 64,6 | 10,0 | 71,4 | 11,0 |
| 1440 | 24 | 28,0 | 3,2 | 35,1 | 4,1 | 39,2 | 4,5 | 44,5 | 5,2 | 51,6 | 6,0 | 58,6 | 6,8 | 62,8 | 7,3 | 68,0 | 7,9 | 75,1 | 8,7 |
| 2880 | 48 | 35,8 | 2,1 | 43,4 | 2,5 | 47,8 | 2,8 | 53,5 | 3,1 | 61,1 | 3,5 | 68,7 | 4,0 | 73,1 | 4,2 | 78,7 | 4,6 | 86,4 | 5,0 |
| 4320 | 72 | 41,3 | 1,6 | 49,2 | 1,9 | 53,8 | 2,1 | 59,7 | 2,3 | 67,6 | 2,6 | 75,5 | 2,9 | 80,1 | 3,1 | 86,0 | 3,3 | 93,9 | 3,6 |

Angaben in mm: Bemessungsniederschlagswerte h(n)

Angaben in l / (s ha): Regenspende R(n) mit $R(n) = h(n) \times 1,666667 / D[\text{min}]$

Toleranzbereiche:

+/- 10 % für $1 a \leq T \leq 5 a$

+/- 15 % für $5 a < T \leq 50 a$

+/- 20 % für $50 a < T \leq 100 a$

Datenbasis: KOSTRA-DWD-2010R des Deutschen Wetterdienstes. Die Regenspende wurde auf Basis des Bemessungsniederschlags zur jeweiligen Andauer berechnet.

Für die Richtigkeit und Aktualität der Angaben wird keine Gewähr übernommen. Erstellt 07/2022.

Starkniederschlagshöhen und -spenden gemäß KOSTRA-DWD-2010R

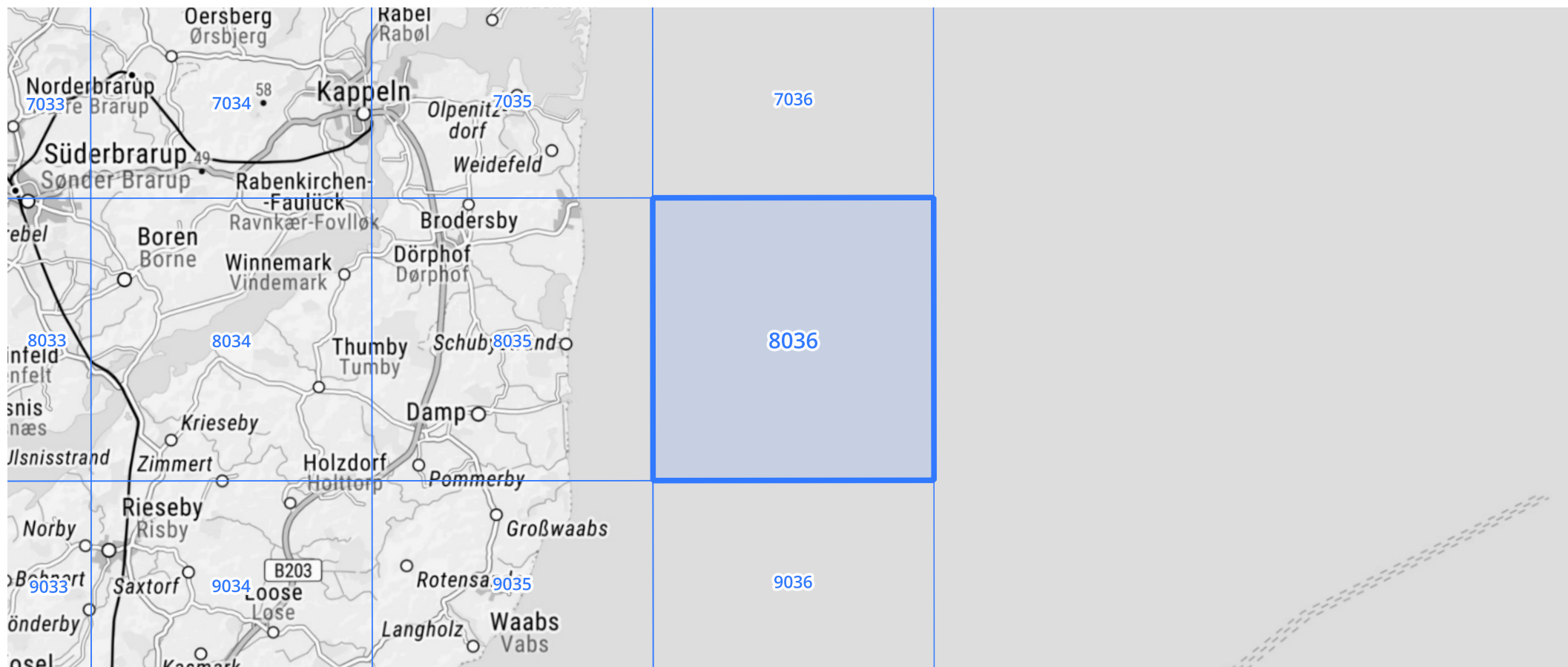
Auswertungszeitraum von 1951 - 2010, Januar - Dezember

Rasterfeld: 8036

Zeile: 8

Spalte: 36

Seite: 2/2



Quelle Rasterdaten: KOSTRA-DWD-2010R des Deutschen Wetterdienstes.

Kartendarstellung: © Bundesamt für Kartographie und Geodäsie (2022), Datenquellen: https://sgx.geodatenzentrum.de/web_public/gdz/datenquellen/Datenquellen_TopPlusOpen.html

Für die Richtigkeit und Aktualität der Angaben wird keine Gewähr übernommen. Erstellt 07/2022.